

Adopted Levels, Gammas

Type	Author	History Citation	Literature Cutoff Date
Full Evaluation	Jean Blachot	NDS 113,515 (2012)	1-Jan-2012

$Q(\beta^-) = -1.240 \times 10^4$  8; S(n)=12954 14; S(p)=3255 14;  $Q(\alpha) = 2719$  13 [2012Wa38](#)

Note: Current evaluation has used the following Q record  $-1.240\text{E}+4$  SY12954 133255 142719 13 [2011AuZZ](#).

$\Delta Q(\beta^-) = 700$  ([2011AuZZ](#)).

The observed structure suggests a broken reflection symmetry.

$^{115}\text{Ba}$  decays by delayed-proton emission to  $^{114}\text{Xe}$ . The level population in  $^{114}\text{Xe}$  is not known.

 $^{114}\text{Xe}$  LevelsCross Reference (XREF) Flags

- A (HI,xn $\gamma$ )
- B  $^{114}\text{Cs}$   $\beta^+$  decay
- C  $^{58}\text{Ni}$ ( $^{58}\text{Ni}$ ,2p $\gamma$ )

E(level)	J $^\pi$	T <sub>1/2</sub>	XREF	Comments
0 $^{\ddagger}$	0 $^+$	10.0 s 4	ABC	$\% \epsilon + \% \beta^+ = 100$ T <sub>1/2</sub> : from <a href="#">1977Ki11</a> , measured $\gamma$ spectrometry at ISOLDE.
450.08 $^{\ddagger}$ 19	2 $^+$	15.6 ps 8	ABC	J $^\pi$ : stretched E2. T <sub>1/2</sub> : Weighted av: 16.5 ps 11 ( <a href="#">1998De29</a> ), 14.9 ps 10 ( <a href="#">2002De26</a> ).
1069.1 $^{\ddagger}$ 3	4 $^+$	3.6 ps 4	ABC	T <sub>1/2</sub> : Weighted av: 3.40 ps 21 ( <a href="#">1998De29</a> ), 4.3 ps 4 ( <a href="#">2002De26</a> ). J $^\pi$ : stretched E2.
1148.7 $^{\#}$ 4	(2) $^+$		AB	J $^\pi$ : quasi $\gamma$ -band member. M1,E2 to 2 $^+$ .
1623.8 $^{\textcircled{a}}$ 3	3 $^-$	8.3 ps 21	A C	J $^\pi$ : E1 $\gamma$ to 2 $^+$ . T <sub>1/2</sub> : from <a href="#">2002De26</a> .
1776.7 $^{\#}$ 4	(4) $^+$		A	
1789.7 $^{\ddagger}$ 3	6 $^+$	2.1 ps 3	A C	T <sub>1/2</sub> : from <a href="#">1998De29</a> . J $^\pi$ : E2 $\gamma$ to 4 $^+$ and g.s. band.
2000.7 $^{\textcircled{a}}$ 3	5 $^-$	21.2 ps 18	A C	T <sub>1/2</sub> : Weighted av: 22.9 ps 21 ( <a href="#">1998De29</a> ), 19.4 ps 21 ( <a href="#">2002De26</a> ).
2356.5 $^{\#}$ 4	(6) $^+$		A	
2554.4 $^{\ddagger}$ 4	8 $^+$		A C	J $^\pi$ : stretched E2.
2559.4 $^{\textcircled{a}}$ 4	7 $^-$	3.8 ps 8	A C	T <sub>1/2</sub> : from <a href="#">1998De29</a> .
2765.7 $^{\text{a}}$ 5	6 $^-$		A	
2920.2 $^{\&}$ 5	7 $^-$		A	
2984.5 $^{\#}$ 4	(8) $^+$		A	
3095.4 $^{\text{a}}$ 5	8 $^-$		A	
3170.9 $^{\textcircled{a}}$ 4	9 $^-$		A C	
3289.7 $^{\&}$ 4	9 $^-$		A	
3305.6 $^{\ddagger}$ 4	10 $^+$		A	
3613.3 $^{\#}$ 4	(10) $^+$		A	
3638.1 $^{\text{a}}$ 7	(10) $^-$		A	
3863.9 $^{\&}$ 4	11 $^-$		A	
3924.4 $^{\textcircled{a}}$ 4	11 $^-$		A C	
4046.5 $^{\ddagger}$ 4	12 $^+$		A C	
4140.4 $^{\#}$ 4	(12) $^+$		A	
4407.7 $^{\text{a}}$ 9	(12) $^-$		A	
4697.5 $^{\&}$ 5	13 $^-$		A	

Continued on next page (footnotes at end of table)

Adopted Levels, Gammas (continued) $^{114}\text{Xe}$  Levels (continued)

E(level)	$J^{\pi}$	$T_{1/2}$	XREF	Comments
4736.3@ 4	13 <sup>-</sup>		A C	
4815.6‡ 5	14 <sup>+</sup>		A C	
4849.3# 4	(14 <sup>+</sup> )		A	
5285.6 <sup>a</sup> 10	(14 <sup>-</sup> )		A	
5452.1@ 4	15 <sup>-</sup>		A C	
5617.6& 7	15 <sup>-</sup>		A	
5635.4‡ 7	16 <sup>+</sup>	0.49 ps +21-13	A	$T_{1/2}$ : From 2007Pa07.
5712.0# 4	(16 <sup>+</sup> )		A	
5720.1 7			A	
6157.6 <sup>a</sup> 11	(16 <sup>-</sup> )		A	
6308.5@ 4	17 <sup>-</sup>		A C	
6329.9 8			A	
6514.2‡ 9	18 <sup>+</sup>	0.34 ps +15-7	A	$T_{1/2}$ : From 2007Pa07.
6537.4& 8	17 <sup>-</sup>		A	
6681.0# 7	(18 <sup>+</sup> )		A	
6851.4@ 5	19 <sup>-</sup>		A C	
7021.6 <sup>a</sup> 12	(18 <sup>-</sup> )		A	
7357.4& 13	(19 <sup>-</sup> )		A	
7451.6‡ 10	20 <sup>+</sup>	0.24 ps +10-6	A	$T_{1/2}$ : From 2007Pa07.
7545.4@ 5	21 <sup>-</sup>		A C	
7684.0# 12	20 <sup>+</sup>		A	
7898.4 <sup>a</sup> 12	(20 <sup>-</sup> )		A	
8255.4& 17	(21 <sup>-</sup> )		A	
8379.9@ 7	23 <sup>-</sup>		A C	
8449.1‡ 11	22 <sup>+</sup>	0.18 ps +8-5	A	$T_{1/2}$ : From 2007Pa07.
9371.5@ 9	(25 <sup>-</sup> )		A	
9510.8‡ 12	24 <sup>+</sup>	0.132 ps +55-35	A	$T_{1/2}$ : From 2007Pa07.
10543 <sup>c</sup> 1	26 <sup>+</sup>		A	
10583.5@ 14	(27 <sup>-</sup> )		A	
10626‡ 1	26 <sup>+</sup>		A	
10660 <sup>b</sup> 1	26 <sup>+</sup>		A	
11619 <sup>c</sup> 1	28 <sup>+</sup>		A	
11774‡ 1	(28 <sup>+</sup> )		A	
11864 <sup>b</sup> 1	28 <sup>+</sup>		A	
12806 <sup>c</sup> 1	(30 <sup>+</sup> )		A	
12888‡ 2	(30 <sup>+</sup> )		A	
13142 <sup>b</sup> 2	30 <sup>+</sup>		A	
14115 <sup>c</sup> 2	(32 <sup>+</sup> )		A	
14502 <sup>b</sup> 2	(32 <sup>+</sup> )		A	
15640 <sup>c</sup> 2	(34 <sup>+</sup> )		A	
15952 <sup>b</sup> 2	(34 <sup>+</sup> )		A	
17452 <sup>c</sup> 2	(36 <sup>+</sup> )		A	
17485 <sup>b</sup> 2	(36 <sup>+</sup> )		A	
19115 <sup>b</sup> 2	(38 <sup>+</sup> )		A	
20856 <sup>b</sup> 2	(40 <sup>+</sup> )		A	

Continued on next page (footnotes at end of table)

Adopted Levels, Gammas (continued) $^{114}\text{Xe}$  Levels (continued)

E(level)	$J^\pi$ †	XREF
22726 <sup>b</sup>	2 (42 <sup>+</sup> )	A
24739 <sup>b</sup>	3 (44 <sup>+</sup> )	A
26914 <sup>b</sup>	3 (46 <sup>+</sup> )	A
29250 <sup>b</sup>	3 (48 <sup>+</sup> )	A
31781 <sup>b</sup>	3 (50 <sup>+</sup> )	A
34591 <sup>?b</sup>	3 (52 <sup>+</sup> )	A

†  $J^\pi$  without comments are based on band structure and  $\gamma$  multiplicities.

‡ Band(A): g.s. band.  $Q(0)=3.5$ .

# Band(B): 2<sup>+</sup> band.

@ Band(C): Octupole band based on 3<sup>-</sup>.  $Q(0)=2.3$ .

& Band(D): band based on 7<sup>-</sup>.  $(\pi,\alpha)=(-11)$ .

<sup>a</sup> Band(E): band based on 6<sup>-</sup>.  $(\pi,\alpha)=(-10)$ .

<sup>b</sup> Band(F): Band, configuration= $\pi g_{9/2}^{-2} \pi h_{11/2}^2 \nu h_{11/2}^4$  (2002Pa22). This band terminates at 56<sup>+</sup> oblate state.

<sup>c</sup> Band(G): Band, configuration= $\pi h_{11/2}^2 \nu h_{11/2}^2$  (2002Pa22). This band terminates into an oblate shape at 38<sup>+</sup>.

 $\gamma(^{114}\text{Xe})$ 

$E_i(\text{level})$	$J_i^\pi$	$E_\gamma$	$I_\gamma$	$E_f$	$J_f^\pi$	Mult.†	Comments
450.08	2 <sup>+</sup>	450.1 2	100	0	0 <sup>+</sup>	E2	
1069.1	4 <sup>+</sup>	619.0 2	100	450.08	2 <sup>+</sup>	E2	
1148.7	(2) <sup>+</sup>	698.7 5	100	450.08	2 <sup>+</sup>	M1,E2	
		1148.5 5	58	0	0 <sup>+</sup>		
1623.8	3 <sup>-</sup>	554.1 2	60 5	1069.1	4 <sup>+</sup>	E1	$E_\gamma$ : from 2002De26.
		1173.7 2	100 6	450.08	2 <sup>+</sup>	E1	
		1623.7 2	1.8 6	0	0 <sup>+</sup>	E3	$E_\gamma$ : from 2002De26.
1776.7	(4) <sup>+</sup>	628.0 5	100	1148.7	(2) <sup>+</sup>		
		708 1	100	1069.1	4 <sup>+</sup>		
1789.7	6 <sup>+</sup>	720.7 2	100	1069.1	4 <sup>+</sup>	E2	
2000.7	5 <sup>-</sup>	211.3 5	13	1789.7	6 <sup>+</sup>	E1	
		223.7 5	8.	1776.7	(4) <sup>+</sup>	E1	
		376.9 2	100	1623.8	3 <sup>-</sup>	E2	
		931 1	<3.	1069.1	4 <sup>+</sup>		
		1549.1 5	2.0 5	450.08	2 <sup>+</sup>	E3	$E_\gamma$ : from 2002De26.
2356.5	(6) <sup>+</sup>	567.0 5	70	1789.7	6 <sup>+</sup>	M1+E2	
		580.1 5	100	1776.7	(4) <sup>+</sup>	E2	
2554.4	8 <sup>+</sup>	764.7 2	100	1789.7	6 <sup>+</sup>	E2	
2559.4	7 <sup>-</sup>	558.7 2	100	2000.7	5 <sup>-</sup>	E2	
		769.6 5	16	1789.7	6 <sup>+</sup>		
2765.7	6 <sup>-</sup>	764.8 5	100	2000.7	5 <sup>-</sup>		
		977 1	<40	1789.7	6 <sup>+</sup>		
2920.2	7 <sup>-</sup>	1130.2 5	100	1789.7	6 <sup>+</sup>	E1	
2984.5	(8) <sup>+</sup>	628.1 2	100	2356.5	(6) <sup>+</sup>	E2	
		1194.7 5	21	1789.7	6 <sup>+</sup>	E2	
3095.4	8 <sup>-</sup>	175.0 5	38	2920.2	7 <sup>-</sup>	M1+E2	
		329.7 5	60	2765.7	6 <sup>-</sup>	E2	
		536.1 5	100	2559.4	7 <sup>-</sup>	M1+E2	
3170.9	9 <sup>-</sup>	611.4 2	100	2559.4	7 <sup>-</sup>	E2	
3289.7	9 <sup>-</sup>	369.3 5	13	2920.2	7 <sup>-</sup>		
		730.1 5	88	2559.4	7 <sup>-</sup>	E2	
		735.7 5	100	2554.4	8 <sup>+</sup>	E1	

Continued on next page (footnotes at end of table)

Adopted Levels, Gammas (continued) $\gamma(^{114}\text{Xe})$  (continued)

<u><math>E_i(\text{level})</math></u>	<u><math>J_i^\pi</math></u>	<u><math>E_\gamma</math></u>	<u><math>I_\gamma</math></u>	<u><math>E_f</math></u>	<u><math>J_f^\pi</math></u>	<u>Mult.<sup>†</sup></u>
3305.6	10 <sup>+</sup>	751.1 2	100	2554.4	8 <sup>+</sup>	E2
3613.3	(10) <sup>+</sup>	307.6 5	25	3305.6	10 <sup>+</sup>	M1+E2
		442.5 5	12	3170.9	9 <sup>-</sup>	E1
		628.9 2	100	2984.5	(8) <sup>+</sup>	E2
		1059.0 5	7.	2554.4	8 <sup>+</sup>	
3638.1	(10) <sup>-</sup>	542.7 5	100	3095.4	8 <sup>-</sup>	
3863.9	11 <sup>-</sup>	574.3 5	11	3289.7	9 <sup>-</sup>	
		692.9 2	100	3170.9	9 <sup>-</sup>	E2
3924.4	11 <sup>-</sup>	634.9 5	63	3289.7	9 <sup>-</sup>	E2
		753.6 2	100	3170.9	9 <sup>-</sup>	E2
4046.5	12 <sup>+</sup>	740.7 2	100	3305.6	10 <sup>+</sup>	E2
4140.4	(12) <sup>+</sup>	527.1 2	100	3613.3	(10) <sup>+</sup>	E2
		835.1 5	<5.	3305.6	10 <sup>+</sup>	
4407.7	(12) <sup>-</sup>	769.6 5	100	3638.1	(10) <sup>-</sup>	
4697.5	13 <sup>-</sup>	832.9 5	100	3863.9	11 <sup>-</sup>	E2
4736.3	13 <sup>-</sup>	812.0 2	100	3924.4	11 <sup>-</sup>	E2
		872.5 5	20	3863.9	11 <sup>-</sup>	
4815.6	14 <sup>+</sup>	769.1 2	100	4046.5	12 <sup>+</sup>	E2
4849.3	(14) <sup>+</sup>	709.1 2	100	4140.4	(12) <sup>+</sup>	E2
		802.0 5	24	4046.5	12 <sup>+</sup>	
5285.6	(14) <sup>-</sup>	877.9 5	100	4407.7	(12) <sup>-</sup>	
5452.1	15 <sup>-</sup>	715.9 2	100	4736.3	13 <sup>-</sup>	E2
		753.9 5	10	4697.5	13 <sup>-</sup>	E2
5617.6	15 <sup>-</sup>	920.2 5	100	4697.5	13 <sup>-</sup>	E2
5635.4	16 <sup>+</sup>	819.8 5	100	4815.6	14 <sup>+</sup>	E2
5712.0	(16) <sup>+</sup>	862.7 2	100	4849.3	(14) <sup>+</sup>	E2
5720.1		870.8 5	100	4849.3	(14) <sup>+</sup>	
6157.6	(16) <sup>-</sup>	872.0 5	100	5285.6	(14) <sup>-</sup>	
6308.5	17 <sup>-</sup>	596.5 2	9.	5712.0	(16) <sup>+</sup>	
		691 <i>l</i>	12	5617.6	15 <sup>-</sup>	E2
		856.4 2	100	5452.1	15 <sup>-</sup>	E2
6329.9		609.8 5	100	5720.1		
6514.2	18 <sup>+</sup>	878.8 5	100	5635.4	16 <sup>+</sup>	E2
6537.4	17 <sup>-</sup>	919.7 5	100	5617.6	15 <sup>-</sup>	E2
6681.0	(18) <sup>+</sup>	969.0 5	100	5712.0	(16) <sup>+</sup>	
6851.4	19 <sup>-</sup>	542.9 2	100	6308.5	17 <sup>-</sup>	E2
7021.6	(18) <sup>-</sup>	864.0 5	100	6157.6	(16) <sup>-</sup>	
7357.4	(19) <sup>-</sup>	820 <i>l</i>	100	6537.4	17 <sup>-</sup>	
7451.6	20 <sup>+</sup>	937.4 5	100	6514.2	18 <sup>+</sup>	E2
7545.4	21 <sup>-</sup>	694.0 2	100	6851.4	19 <sup>-</sup>	E2
7684.0	20 <sup>+</sup>	1003 <i>l</i>	100	6681.0	(18) <sup>+</sup>	
7898.4	(20) <sup>-</sup>	877 <sup>‡</sup> <i>l</i>	100	7021.6	(18) <sup>-</sup>	
8255.4	(21) <sup>-</sup>	898 <i>l</i>	100	7357.4	(19) <sup>-</sup>	
8379.9	23 <sup>-</sup>	834.5 5	100	7545.4	21 <sup>-</sup>	E2
8449.1	22 <sup>+</sup>	997.5 5	100	7451.6	20 <sup>+</sup>	
9371.5	(25) <sup>-</sup>	991.6 5	100	8379.9	23 <sup>-</sup>	
9510.8	24 <sup>+</sup>	1061.7 5	100	8449.1	22 <sup>+</sup>	
10543	26 <sup>+</sup>	1032 <i>l</i>	100	9510.8	24 <sup>+</sup>	
10583.5	(27) <sup>-</sup>	1212 <i>l</i>	100	9371.5	(25) <sup>-</sup>	
10626	26 <sup>+</sup>	1115 <i>l</i>	100	9510.8	24 <sup>+</sup>	
10660	26 <sup>+</sup>	1149 <i>l</i>	100	9510.8	24 <sup>+</sup>	
11619	28 <sup>+</sup>	1076 <i>l</i>	100	10543	26 <sup>+</sup>	
11774	(28) <sup>+</sup>	1148 <i>l</i>	100	10626	26 <sup>+</sup>	
11864	28 <sup>+</sup>	1204 <i>l</i>	100	10660	26 <sup>+</sup>	
12806	(30) <sup>+</sup>	1187 <i>l</i>	100	11619	28 <sup>+</sup>	

Continued on next page (footnotes at end of table)

**Adopted Levels, Gammas (continued)** $\gamma(^{114}\text{Xe})$  (continued)

$E_i(\text{level})$	$J_i^\pi$	$E_\gamma$	$I_\gamma$	$E_f$	$J_f^\pi$	$E_i(\text{level})$	$J_i^\pi$	$E_\gamma$	$I_\gamma$	$E_f$	$J_f^\pi$
12888?	(30 <sup>+</sup> )	1114 <sup>‡</sup> <i>I</i>	100	11774	(28 <sup>+</sup> )	19115	(38 <sup>+</sup> )	1630 <i>I</i>	100	17485	(36 <sup>+</sup> )
13142	30 <sup>+</sup>	1278 <i>I</i>	100	11864	28 <sup>+</sup>	20856	(40 <sup>+</sup> )	1741 <i>I</i>	100	19115	(38 <sup>+</sup> )
14115	(32 <sup>+</sup> )	1309 <i>I</i>	100	12806	(30 <sup>+</sup> )	22726	(42 <sup>+</sup> )	1870 <i>I</i>	100	20856	(40 <sup>+</sup> )
14502	(32 <sup>+</sup> )	1360 <i>I</i>	100	13142	30 <sup>+</sup>	24739	(44 <sup>+</sup> )	2013 <i>I</i>	100	22726	(42 <sup>+</sup> )
15640	(34 <sup>+</sup> )	1525 <i>I</i>	100	14115	(32 <sup>+</sup> )	26914	(46 <sup>+</sup> )	2175 <i>I</i>	100	24739	(44 <sup>+</sup> )
15952	(34 <sup>+</sup> )	1450 <i>I</i>	100	14502	(32 <sup>+</sup> )	29250	(48 <sup>+</sup> )	2336 <i>I</i>	100	26914	(46 <sup>+</sup> )
17452?	(36 <sup>+</sup> )	1812 <sup>‡</sup> <i>I</i>	100	15640	(34 <sup>+</sup> )	31781	(50 <sup>+</sup> )	2531 <i>I</i>	100	29250	(48 <sup>+</sup> )
17485	(36 <sup>+</sup> )	1533 <i>I</i>	100	15952	(34 <sup>+</sup> )	34591?	(52 <sup>+</sup> )	2810 <sup>‡</sup> <i>I</i>	100	31781	(50 <sup>+</sup> )

<sup>†</sup> From (HL,xn $\gamma$ ) with  $\gamma(\theta)$ (DCO).

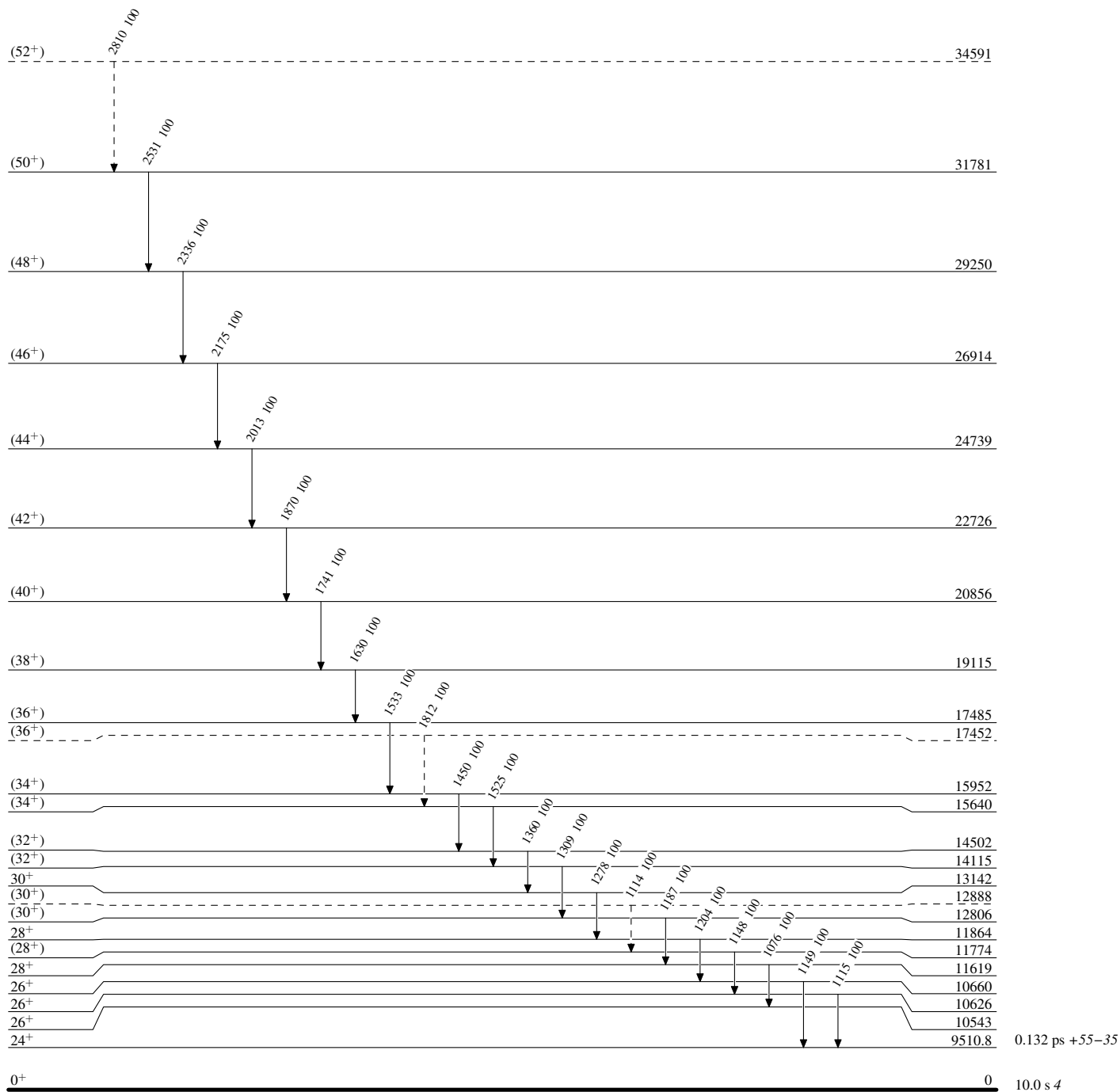
<sup>‡</sup> Placement of transition in the level scheme is uncertain.

**Adopted Levels, Gammas**

Legend

**Level Scheme**

Intensities: Relative photon branching from each level

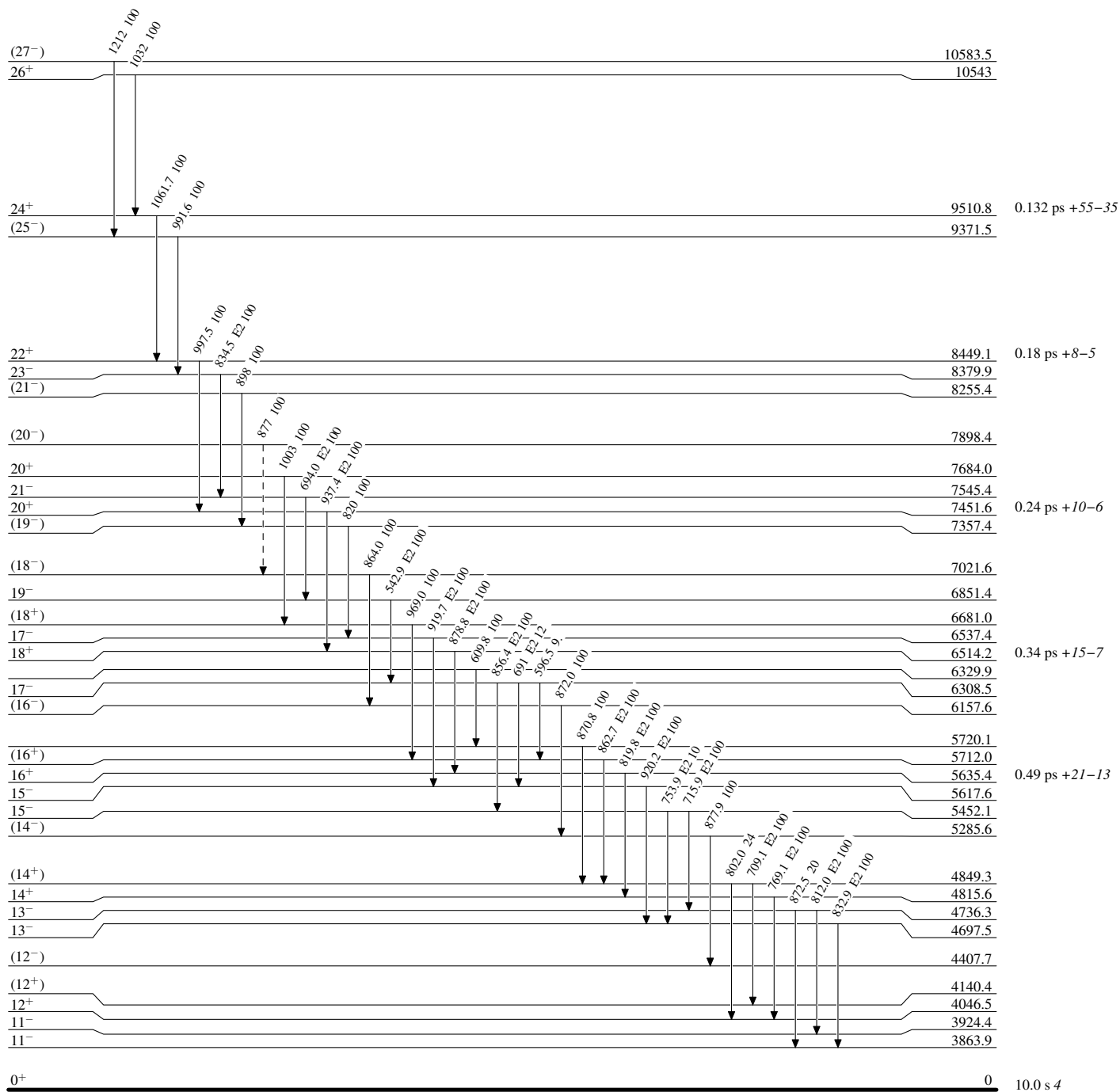
-----▶  $\gamma$  Decay (Uncertain) $^{114}_{54}\text{Xe}_{60}$

**Adopted Levels, Gammas**

Legend

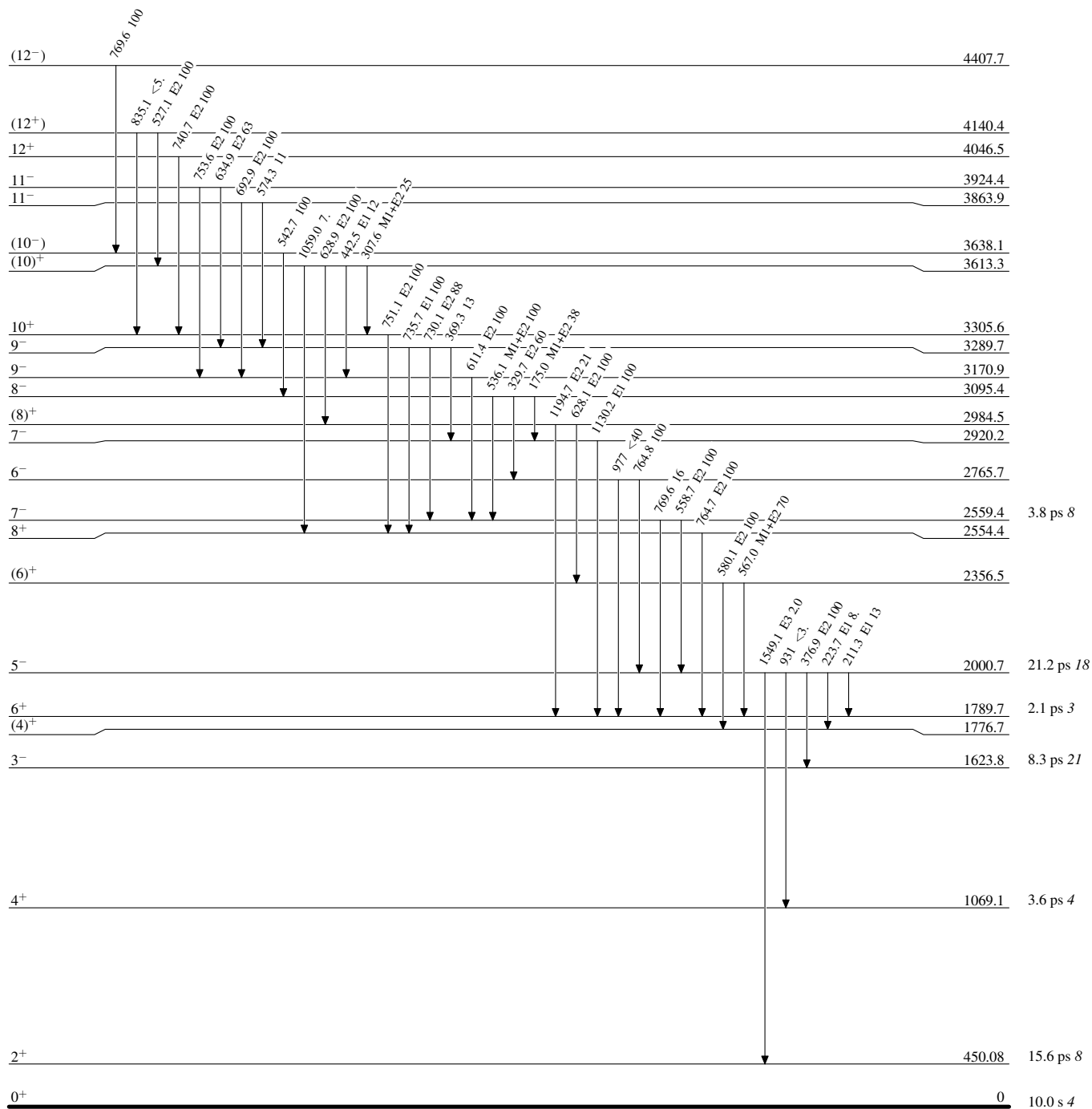
**Level Scheme (continued)**

Intensities: Relative photon branching from each level

-----▶  $\gamma$  Decay (Uncertain)

**Adopted Levels, Gammas****Level Scheme (continued)**

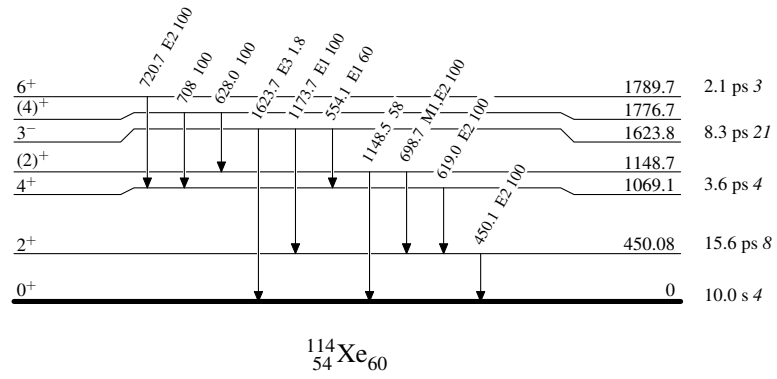
Intensities: Relative photon branching from each level





**Adopted Levels, Gammas****Level Scheme (continued)**

Intensities: Relative photon branching from each level



Adopted Levels, Gammas

Band(F): Band,  
configuration=  
 $\pi g_{9/2}^2 \pi h$   
 $2_{1/2}^+ \nu h_{1/2}^+$   
(2002Pa22)

(52 <sup>+</sup> )	34591
	2810
(50 <sup>+</sup> )	31781
	2531
(48 <sup>+</sup> )	29250
	2336
(46 <sup>+</sup> )	26914
	2175
(44 <sup>+</sup> )	24739
	2013
(42 <sup>+</sup> )	22726
	1870
(40 <sup>+</sup> )	20856
	1741
(38 <sup>+</sup> )	19115
	1630
(36 <sup>+</sup> )	17485
	1533
(34 <sup>+</sup> )	15952
	1450
(32 <sup>+</sup> )	14502
	1360
30 <sup>+</sup>	13142
	1278
28 <sup>+</sup>	11864
	1204
26 <sup>+</sup>	10660

Band(A): g.s. band

(30 <sup>+</sup> )	12888	
(28 <sup>+</sup> )	1114	11774
26 <sup>+</sup>	1148	10626
24 <sup>+</sup>	1115	9510.8
22 <sup>+</sup>	1062	8449.1
20 <sup>+</sup>	998	7451.6
18 <sup>+</sup>	937	6514.2
16 <sup>+</sup>	879	5635.4
14 <sup>+</sup>	820	4815.6
12 <sup>+</sup>	769	4046.5
10 <sup>+</sup>	741	3305.6
8 <sup>+</sup>	751	2554.4
6 <sup>+</sup>	765	1789.7
4 <sup>+</sup>	721	1069.1
2 <sup>+</sup>	619	450.08
0 <sup>+</sup>	450	0

Band(B): 2<sup>+</sup> band

20 <sup>+</sup>	7684.0	
(18 <sup>+</sup> )	1003	6681.0
(16 <sup>+</sup> )	969	5712.0
(14 <sup>+</sup> )	863	4849.3
(12 <sup>+</sup> )	709	4140.4
(10 <sup>+</sup> )	527	3613.3
(8 <sup>+</sup> )	629	2984.5
(6 <sup>+</sup> )	628	2356.5
(4 <sup>+</sup> )	580	1776.7
(2 <sup>+</sup> )	628	1148.7

Band(C): Octupole band  
based on 3<sup>-</sup>

(27 <sup>-</sup> )	10583.5	
(25 <sup>-</sup> )	1212	9371.5
23 <sup>-</sup>	992	8379.9
21 <sup>-</sup>	834	7545.4
19 <sup>-</sup>	694	6851.4
17 <sup>-</sup>	543	6308.5
15 <sup>-</sup>	856	5452.1
13 <sup>-</sup>	716	4736.3
11 <sup>-</sup>	812	3924.4
9 <sup>-</sup>	754	3170.9
7 <sup>-</sup>	611	2559.4
5 <sup>-</sup>	559	2000.7
3 <sup>-</sup>	377	1623.8

Band(D): Band based on 7<sup>-</sup>

(21 <sup>-</sup> )	8255.4	
(19 <sup>-</sup> )	898	7357.4
17 <sup>-</sup>	820	6537.4
15 <sup>-</sup>	920	5617.6
13 <sup>-</sup>	920	4697.5
11 <sup>-</sup>	833	3863.9
9 <sup>-</sup>	574	3289.7
7 <sup>-</sup>	369	2920.2

Band(E): Band based on 6<sup>-</sup>

(20 <sup>-</sup> )	7898.4	
(18 <sup>-</sup> )	877	7021.6
(16 <sup>-</sup> )	864	6157.6
(14 <sup>-</sup> )	872	5285.6
(12 <sup>-</sup> )	878	4407.7
(10 <sup>-</sup> )	543	3638.1
8 <sup>-</sup>	770	3095.4
6 <sup>-</sup>	330	2765.7

Adopted Levels, Gammas (continued)